

Нижегородский научно-исследовательский радиофизический институт  
Государственного комитета РФ по высшему образованию

П р е п р и н т № 372

**ТРАНСЭКВАТОРИАЛЬНОЕ РАСПРОСТРАНЕНИЕ КВ:  
МОДЕЛИРОВАНИЕ ИОНОСФЕРНЫХ  
И МАГНИТОСФЕРНЫХ СИГНАЛОВ**

**В.П.Урядов  
Н.В.Рябова**

**Нижний Новгород, 1993**

ТРАНСЭКВАТОРИАЛЬНОЕ РАСПРОСТРАНЕНИЕ КВ: МОДЕЛИРОВАНИЕ  
ИОНОСФЕРНЫХ И МАГНИТОСФЕРНЫХ СИГНАЛОВ //Препринт № 372. - Нижний  
Новгород: НИРФИ, 1993. - 13 с.

УДК 550.388.2

В геометрикооптическом приближении проведен синтез ионограмм наклонного зондирования для сигналов ионосферного и волноводного магнитосферного происхождения при распространении коротких радиоволн между магнитосопряженными точками. Исследованы характеристики ионосферного (ИС) и магнитосферного (МС) сигналов для различных геоионосферных условий. Показано, что для значений параметров неоднородностей с пониженной электронной концентрацией, формирующих магнитосферный дракт  $\delta \approx 5 \cdot 10^{-2}$ ,  $l_1 \approx 2$  км при трансэкваториальном распространении (ТЭР) КВ на умеренно низких геомагнитных широтах ( $\Phi_0 \sim 30\text{--}40^\circ$ ), отношение МС МНЧ/ИС МНЧ  $\sim 1,6\text{--}1,4$ , а на более высоких широтах ( $\Phi_0 \sim 50^\circ$ ) МС МНЧ/ИС МНЧ  $\sim 0,74$ . Показано, что уширение МС составляет  $\sim 1\text{--}2$  мс и имеет место быстрое уменьшение времени группового запаздывания МС с ростом частоты: в нижней части диапазона частот МС  $f \sim 14\text{--}18$  МГц,  $|\frac{\Delta \tau_{gr}}{\Delta f}| \sim 1,4; 0,7; 0,6$  мс/МГц для корреспондирующих пунктов, расположенных в магнитосопряженных точках на геомагнитных широтах  $\Phi_C = 30^\circ, 40^\circ$  и  $50^\circ$  соответственно.

## СОДЕРЖАНИЕ

	стр.
ВВЕДЕНИЕ.....	3
1. ВОЛНОВОДНАЯ МОДЕЛЬ.....	4
2. РЕЗУЛЬТАТЫ МОДЕЛИРОВАНИЯ.....	6
ЗАКЛЮЧЕНИЕ.....	II
ЛИТЕРАТУРА.....	12

## В В Е Д Е Н И Е

Проблеме транзекваториального распространения (ТЭР) КВ и УКВ посвящено большое число как экспериментальных, так и теоретических работ. Интерес к ТЭР КВ и УКВ обусловлен рядом обстоятельств, связанных с особенностями экваториальной ионосфера. Согласно существующим представлениям, ТЭР КВ и УКВ подразделяется на три типа. Первый – это дневной тип ТЭР, связанный с экваториальной аномалией в окрестности  $\pm 15^{\circ}$  по обе стороны от магнитного экватора. Наличие резко выраженных максимумов электронной концентрации в этих областях обеспечивает хордовый механизм ТЭР (эффект щепчуши галерей) на частотах до 60 МГц /1/. Второй тип ТЭР коррелирует с крупномасштабными возмущениями ( $1 \sim 10-100$  км) и  $F_{spread}$  и связывается с рассеянием радиоволн вперед на ионосферных неоднородностях /2, 3/. Третий тип ТЭР наблюдается в вечерние часы и регистрируется на частотах, превышающих 100 МГц /4-6/. Эти частоты превышают частоты сигналов, которые могут распространяться за счет хордового механизма, а принимаемая мощность больше, чем ожидаемая за счет рассеяния радиоволн. Согласно экспериментальным данным /7/, зона приема высокочастотных сигналов, распространяющихся через магнитный экватор, ограничена в широтном и долготном направлениях и пространственно привязана к магнитосопряженной области. Возможные механизмы вечернего типа ТЭР УКВ обсуждались рядом авторов. В работе /8/ на основе измерений углов прихода и грушевой задержки сигнала на частоте  $f = 77$  МГц на трассе Окинава (Япония) – Дарвин (Австралия) сделан вывод о канализировании волн вдоль силовых линий

гемагнитного поля. Предположение авторов /4/ о ТЭР УКВ по т.м двойного рассеяния, хотя и согласуется с частотной зависимостью в принимаемой мощности ( $P \propto f^{-10} - f^{-12}$ ), но требует больших рассеивающих объемов, что противоречит значительной коррелированности сигнала. Можно считать, что совокупность данных по вечернему типу ТЭР УКВ свидетельствует в пользу волноводного магнитосферного механизма, связанного либо с дикторным распространением вдоль полевытянутых неоднородностей с пониженной электронной концентрацией /9/, либо с распространением внутри крупномасштабных экваториальных пузырей с большими локальными градиентами электронной концентрации /10/.

Следует отметить, что в отличие от работ по ТЭР УКВ исследований по ТЭР КВ сравнительно немного /11, 12/. В КВ диапазоне, наряду с рассмотренными выше механизмами ТЭР, реализуются стартовые механизмы ионосферного распространения, что заметно усложняет интерпретацию экспериментальных данных. В этой связи при постановке эксперимента и интерпретации данных зондирования ТЭР КВ важную роль играет моделирование, включающее как ионосферные так и магнитосферные механизмы распространения радиоволны.

## I. ВОЛНОВОДНАЯ МОДЕЛЬ

В данной работе моделирование ионосферной части ТЭР КВ проводилось в рамках геометрикооптического приближения по методике, изложенной в /13/, для модели ионосферы в виде суммы членовских слоев, описанных E-, F<sub>1</sub>- и F<sub>2</sub>-области.

С методологической точки зрения для моделирования магнитосферной части ТЭР КВ представляется целесообразным использовать аналогию с распространением волн в оптических волноводах /14/, роль которых в нашем случае могут играть дикты, образуемые вытянутыми вдоль силовых линий гемагнитного поля неоднородностями и пониженной концентрации с поперечными размерами  $l_{\perp} \sim 0,5-2$  км /15/. При этом траектория волны в магнитосферном волноводе с параболическим профилем ( $\Delta n(y, z) = -\Delta n_0(z) \cdot (1 - y^2/a^2)$ ) в геометрикооптическом приближении описывается уравнением /16/

$$\frac{d^2y}{dz^2} + \frac{k_2(z)}{k_0(z)} y + \frac{1}{2} \frac{k_1(z)}{k_0(z)} = 0. \quad (I)$$

Здесь  $u$  - поперечная координата,  $z$  - координата вдоль дакта

$$k_0 = \frac{\omega}{c} \sqrt{\epsilon_0(z)}, k_1 = -2 \frac{\omega}{c} \frac{\sqrt{\epsilon_0(z)}}{r_y(z)}, k_2 = \frac{\omega}{c} \frac{1}{\alpha^2(z) \sqrt{\epsilon_0(z)}} \times$$

$$\times \frac{4\pi e^2 \Delta N_0(z)}{m\omega^2}, \quad \epsilon_0(z) = 1 - \frac{\omega_0^2(z)}{\omega^2}.$$

$$r_y = \frac{R_0 \cos \phi (1 + 3 \sin^2 \phi)^{3/2}}{3 \cos^2 \phi_0 (1 + \sin^2 \phi)} - \quad (2)$$

- радиус кривизны канала,  $R_0$  - радиус Земли,  $\phi'_0$  - геомагнитная широта точки пересечения дакта с поверхностью Земли,  $\Phi$  - текущая геомагнитная широта дакта, связанная с координатой  $z$  выражением /17/:

$$z = \frac{R_0}{2 \cos^2 \phi'_0} \left\{ \left[ \sin \phi_1 \sqrt{1 + 3 \sin^2 \phi_1} + \frac{1}{\sqrt{3}} \ln \left| \sin \phi_1 + \sqrt{\frac{1 + 3 \sin^2 \phi_1}{3}} \right| \right] - \right.$$

$$\left. - \left[ \sin \phi \sqrt{1 + 3 \sin^2 \phi} + \frac{1}{\sqrt{3}} \ln \left| \sin \phi + \sqrt{\frac{1 + \sin^2 \phi}{3}} \right| \right] \right\}, \quad (3)$$

$\Phi_1$  - геомагнитная широта пересечения магнитосферного дакта с точкой выхода луча из ионосфера.

Поперечный размер дакта  $a(z)$  записан в виде /14/

$$a = a_{m,\phi} \cos^3\phi / \sqrt{1+3\sin^2\phi}, \quad (4)$$

где  $a_{m,\phi}$  - ширина дакта в плоскости магнитного экватора.

В расчетах модель изменения фоновой электронной концентрации во внешней ионосфере  $N_0[z(\phi)]$  и модель изменения возмущения концентрации в неоднородности  $\Delta N[z(\phi)]$  вдоль дакта взяты в виде /17/

$$N_0[z(\phi)] = \xi \left( \frac{\cos\phi'_0}{\cos\phi} \right)^6 \exp \left( \frac{\cos^2\phi'_0}{\cos^2\phi} \right),$$

(5)

$$\Delta N[z(\phi)] = \eta \left( \frac{\cos\phi'_0}{\cos\phi} \right)^6 \exp \left( \frac{\cos^2\phi'_0}{\cos^2\phi} \right).$$

Значение  $\xi$  выбирается из условия непрерывности фоновой электронной концентрации при переходе от внутренней к внешней ионосфере.  $\eta$  - параметр, определяющий интенсивность неоднородностей электронной концентрации.

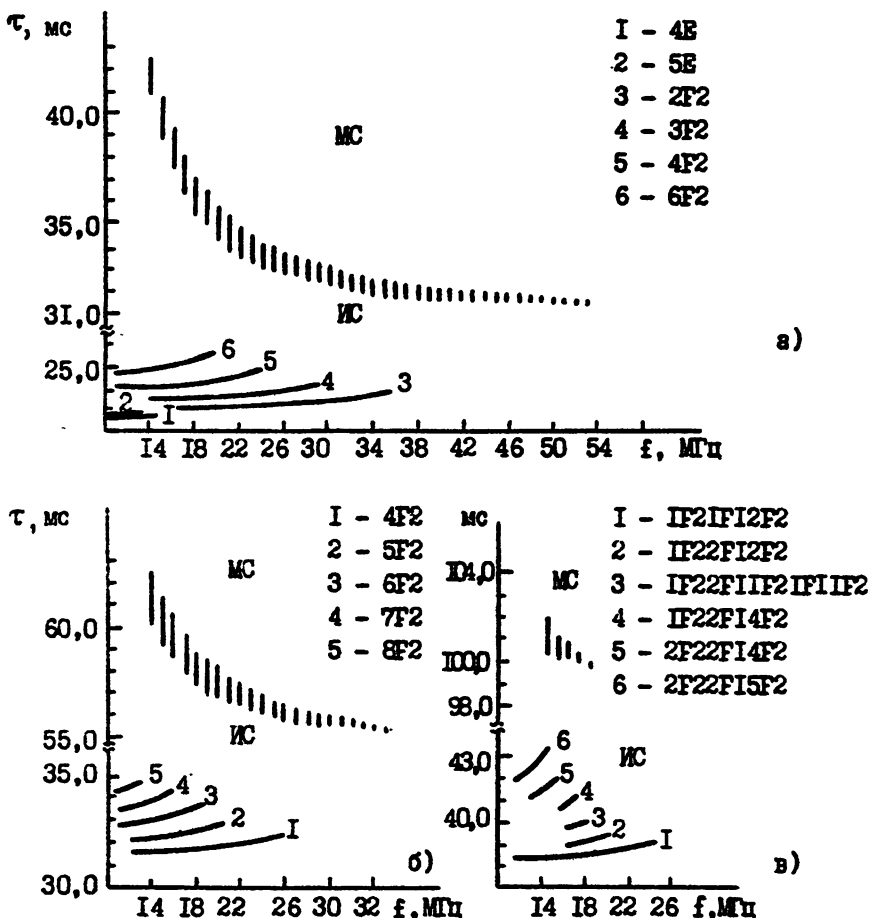
Система уравнений (1)-(5) использовалась для моделирования магнитосферной части ТЭР КВ. При этом начальные условия брались из траекторных расчетов распространения волны от излучателя на поверхности Земли до точки выхода луча из ионосферы.

## 2. РЕЗУЛЬТАТЫ МОДЕЛИРОВАНИЯ

Одной из важнейших характеристик канала ТЭР КВ является дистанционно-частотная характеристика (ДЧХ) трассы. На основе разработанных алгоритмов проводился синтез ионограмм наклонного зондирования для сигналов ионосферного и волнсводного магнитосферного происхождения при распространении КВ между магнитосопряженными точками и строилась зависимость времени группового прохождения

распространения  $\tau_{\text{гр}} = \frac{1}{c} \int \frac{dl}{\sqrt{\epsilon}}$  от частоты. Расчет ионограмм магнитосферного сигнала (МС) проводился в предположении широкой диаграммы направленности антенны для всех углов излучения с Земли, начиная с некоторого минимального значения  $\gamma_0$  ( $\gamma_0$  – угол отсечки, разделяющий моды ионосферного и магнитосферного происхождения) до критического угла  $\gamma_{\text{кр}}$ , определяемого параметрами магнитосферного дакта. При этом каждому углу излучения  $\gamma$ , лежащему в интервале  $\gamma_0 \leq \gamma \leq \gamma_{\text{кр}}$  и удовлетворяющему условию захвата и распространения в магнитосферном дакте, соответствует мода распространения вдоль своей  $L$ -оболочки ( $L = \cos^{-2} \Phi_0$ ). Расчеты ионограмм проводились по долгосрочному прогнозу для периода высокой солнечной активности (февраль,  $W = 179$ ,  $T = 08^h$  LT) для магнитосопряженных точек с различными значениями  $\Phi_0$ , расположенными в Дальневосточном долготном секторе<sup>\*)</sup>. В расчетах относительное значение возмущения электронной концентрации в неоднородности, формирующей магнитосферный дакт, взято равным  $\eta = \delta N = \left[ \langle \left( \frac{\Delta N}{N} \right)^2 \rangle \right]^{1/2} = 5 \cdot 10^{-2}$ , а ширина дакта в плоскости магнитного экватора принята равной  $a_{\text{м.з.}} = 1_1 = 2$  км. Результаты счета для различных значений  $\Phi_0$  геомагнитной широты расположения корреспондирующих пунктов представлены на рис. I а, б, в. В нижней части каждого рисунка приведена ионограмма ионосферного сигнала (ИС), в верхней части рисунка – ионограмма МС (заштрихована вертикальными линиями), включая кроме магнитосферного участка трассы и ионосферные части трассы от излучателя до точки входления луча в дакт и от точки выхода из дакта до точки приема на Земле. Из рисунков можно видеть заметное отличие поведения ионограмм МС и ИС. Если для ионограмм сигналов ионосферного происхождения, распространяющихся стандартным синачиевым способом, характерно увеличение времени грушевого запаздывания сигнала в каждой моде с ростом частоты, что связано с более глубоким проникновением волны в толщу ионосферного слоя на высоких частотах,

\*) Дальневосточный сектор выбран в расчетах из тех соображений, что в Хабаровском крае (п. Вяземский,  $\Phi_0 \approx 38^\circ$ ) расположен действующий широкополосный ( $\Delta f = 3-30$  МГц) ЛЧМ ионозондов по 18/, который может быть использован для проведения экспериментов по ТЭР КВ между магнитосопряженными точками в России (Хабаровский край) и Австралии.



Р и с. I

Ионограммы ионосферных (ИС) и магнитосферных (MC) сигналов.

Дальневосточный долготный регион.

Февраль,  $W = 179$ ,  $T = 08^h 17^m$ ,

$a - \Phi_0 = 30^\circ$ ,  $b - \Phi_0 = 40^\circ$ ,  $v - \Phi_0 = 50^\circ$

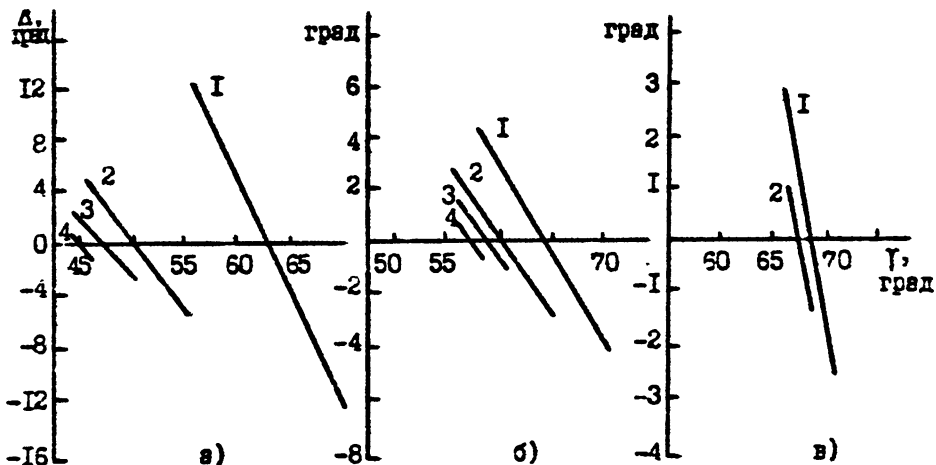


Рис.2

Зависимость углов  $\Delta$  удерживаемых в магнитосферном дикте при ТЭР КВ от угла излучения  $\tau$  с поверхности Земли.

а -  $\Phi_0 = 30^\circ$  (I-15 МГц, 2-25 МГц, 3-35 МГц, 4-50 МГц);

б -  $\Phi_0 = 40^\circ$  (I-15 МГц, 2-20 МГц, 3-25 МГц, 4-30 МГц);

в -  $\Phi_0 = 50^\circ$  (I-14 МГц, 2-16 МГц)

то для МС наблюдается обратная картина – уменьшение  $\tau_{\text{гр}}$  с ростом частоты. Обращает на себя внимание значительная диффузность МС, достигающая на частотах  $f \sim 14-16$  МГц величины  $\tau_{\text{гр}} \sim 1-2$  мс<sup>2</sup>).

Для анализа частотной зависимости групповой задержки МС был проведен расчет углов излучения  $\tau$ , при которых происходит захват и удержание волн в магнитосферном дикте. Эти данные представляют также интерес с точки зрения выбора антенн с оптимальными диаграммами направленности для исследования магнитосферного распространения КВ сигналов. Зависимость углов  $\Delta$ , удерживаемых в канале, от угла излучения  $\tau$  для различных геомагнитных широт  $\Phi_0$  корреспон-

\*). В реальных условиях, в зависимости от энергетики траекторий, распределения диктов по L-оболочкам, геомагнитных условий следует ожидать трансформации МС в более дискретную структуру с тем же (или меньшим) интервалом групповых задержек  $\Delta\tau_{\text{гр}}$ , что и наблюдалось в эксперименте /12/.

дирующих пунктов и различных частот зондирования показана на рис. 2 а, б, в (угол  $\Delta$  отсчитывается от оси дакта в точке входления волны в канал и принимает положительные и отрицательные значения в зависимости от начальных условий входления луча в дакт). Видно, что существует частотная зависимость углов  $\gamma$ . Для всех геомагнитных широт с ростом частоты сужается интервал углов  $\Delta\gamma$  и про исходит смещение центра пучка излучаемых с Земли радиоволн в сторону меньших значений углов  $\gamma$ . Учитывая, что меньшим значениям углов  $\gamma$  соответствуют дакты с меньшими значениями параметра  $L$ , уменьшение  $\tau_{\text{гр}}$  и  $\Delta\tau_{\text{гр}}$  с ростом частоты очевидно связано с тем обстоятельством, что на высоких частотах удержание волны в канале возможно лишь в дактах, расположенных на более низких  $L$ -оболочках, которым соответствуют меньшие значения групповых задержек.

Следует отметить интересную особенность поведения МНЧ ИС и МС для различных значений геомагнитных широт корреспондирующ их пунктов. Эти данные приведены в табл. I.

Таблица

$\Phi_0$	$30^\circ$	$40^\circ$	$50^\circ$
ИС МНЧ, МГц	35	25,6	24,4
МС МНЧ, МГц	55	35	18

Из таблицы видно, что для умеренно низких геомагнитных широт ( $\Phi_0 \sim 30-40^\circ$ ) МС МНЧ заметно превышает ИС МНЧ, а для более высоких геомагнитных широт ( $\Phi_0 = 50^\circ$ ) МС МНЧ < ИС МНЧ. Такая зависимость обусловлена,

с одной стороны, более жесткими условиями на удержание волны в высокосиротных дактах, а с другой - меньшими значениями фокусной электронной концентрации в области входления волны в дакт, оказы вавшей существенное влияние на характеристики МС. На удержание волны в канале оказывает влияние и уровень возмущения электронной концентрации неоднородностей, формирующей магнитосферный дакт. Оценки показывают, что уменьшение поперечного градиента электронной концентрации от значения  $b = 10^{-1}$  до  $10^{-2}$  приводит к сужению интервала углов  $\Delta$ , удерживаемых в канале от  $16$  до  $2^\circ$ .

## ЗАКЛЮЧЕНИЕ

Подводя итоги проведенным исследованиям, можно сделать следующие выводы.

1. Разработаны алгоритмы и программное обеспечение по синтезу ионограмм наклонного зондирования для сигналов ионосферного и волноводного магнитосферного происхождения при трансэкваториальном распространении коротких радио волн между магнитосопряженными точками.
2. Показано, что для значений относительных флуктуаций электронной концентрации неоднородностей, формирующих магнитосферный дакт  $\delta n \sim 5 \times 10^{-2}$ ,  $l_1 \sim 2$  км при ТЭР КВ на умеренно низких геомагнитных широтах ( $\Phi_0 \approx 30-40^\circ$ ) МС МНЧ превышает ИС МНЧ в 1,6-1,4 раза, а на более высоких широтах ( $\Phi_0 = 50^\circ$ ) МС МНЧ меньше ИС МНЧ в 1,35 раза.
3. Согласно расчетам, уширение МС составляет величину  $\sim 1-2$  мс и имеет место достаточно быстрое уменьшение времени группового запаздывания МС с ростом частоты: в нижней части диапазона частот МС  $f \sim 14...18$  МГц,  $|\frac{\Delta t_{\text{ГР}}}{\Delta f}| \sim 1,4; 0,7; 0,6$  мс/МГц для корреспондирующих пунктов, расположенных в магнито-сопряженных точках на геомагнитных широтах  $\Phi_0 = 30, 40$  и  $50^\circ$  соответственно.

В заключение заметим, что моделирование ионограмм сигналов в ионосферного и магнитосферного происхождения дает возможность получить достаточно полную картину ТЭР КВ. Результаты моделирования могут быть использованы при постановке эксперимента и интерпретации данных ТЭР КВ, а также при решении обратной задачи определения параметров магнитосферных дактов по данным широкополосного КВ и УКВ зондирования на трансэкваториальных трассах.

Авторы благодарят Игнатьеву И.Ю. и Угриновского В.А. за помощь в проведении расчетов.

Работа выполнена при поддержке РФФИ в рамках проекта 93-0 2-15893.

## ЛИТЕРАТУРА

- I. Gibson-Wilde B.C. // Radio Sci., - 1969, V.4. - P.797.
2. Rottger J. // J. Atm. Terr. Phys. - 1973, V.35. - P.1195.
3. Ferguson J.A., Booker H.G. // J. Atm. Terr. Phys.-1983.-V.45, No.8,9. - P.641.
4. Kuriki I., Tanohata K., Sakamoto Y., Iguchi M. // Radio Res. Lab. Jap. - 1972, V.19. - P.175.
5. McNamara L.P. // Austr. J. Phys. - 1973, V.26. - P.521.
6. Nielson D.L., Crochet M. // Rev. Geophys. Space Phys. - 1974. - V.12, No.4. - P.688.
7. Heron M.L. // J. Atm. Terr. Phys.-1981.-V.43, No.5,6. - P.597.
8. Bowen E.D., Fay W.J., Heritage J.L. // J. Geophys.Res. - 1968, V.73. - P.2469.
9. Platt I.G., Dyson P.L. // J. Atm. Terr. Phys. - 1989. - V.51, No.9,10. - P.759.
- IO.. Platt I.G., Dyson P.L. // J. Atm. Terr. Phys. - 1989. - V.51, No.11,12. - P.897.
- II. Букин Г.В./Геомагнетизм и аэрономия. - 1978. - Т.18, № 3. - С.440.
12. Бенькова Н.П., Букин Г.В., Годакова Л.С., Яшин Ю.Я./Геомагнетизм и аэрономия. - 1978. - Т.18, № 3. - С.448.
13. Филипп Н.Д., Блауцштейн Н.Ш., Ерухимов Л.М. и др. Современные методы исследования динамических процессов в ионосфере. - Киншинев: Штиинца, 1991. - С.288.
14. Унгер Х.-Г. Планарные и волоконные оптические волноводы. - М.: Мир, 1980. - С.531.
15. Гуревич А.В./Геомагнетизм и аэрономия. - 1979. - Т.19, № 3.- С.462.
16. Ерухимов Л.М., Кротова З.Н., Урядов В.П./Изв.вузов. - Радиофизика. - 1982. - Т.25, № 2. - С.140.
17. Альперт Я.Л. Распространение электромагнитных волн и ионосфе-

ра. - М.: Наука, 1972. - С.564.

18. Иванов В.А., Рябова Н.В., Рябов И.В. и др. Автоматизированный ЛЧМ комплекс в сети станций на ялонного зондирования. Результаты диагностики естественной и модифицированной магнитосферы // Препринт № 323. - Н.Новгород: НИРФИ, 1991. - 56 с.

Дата поступления статьи  
15 октября 1993 г.

---

Подписано в печать 14.10.93 г. Формат 69 x 84/16.  
Бумага писчая. Печать офсетная. Объем 0,74 усл.п.л.  
Заказ 5345. Тираж 100.

---

Отпечатано на ротапринте НИРФИ